

บทที่ 2

ความรู้พื้นฐานทางคณิตศาสตร์

2.1 ปริภูมิที่มีค่าประจำ

ค่าประจำ (norm) เป็นเครื่องมือที่ใช้สำหรับบอกขนาดของเวกเตอร์หนึ่งในปริภูมิเวกเตอร์ ซึ่งค่าประจำนั้น มีนิยามดังนี้

บทนิยาม 1. (ค่าประจำ) ค่าประจำบนปริภูมิเวกเตอร์ V คือฟังก์ชันค่าจริง $\|\cdot\|$ ซึ่งนิยามบน V โดยที่

1. $\|u\| > 0$ ถ้า $u \neq 0$
2. $\|\lambda u\| = |\lambda| \|u\|$ สำหรับทุกสเกลาร์ λ และทุกเวกเตอร์ u
3. $\|u + v\| \leq \|u\| + \|v\|$ สำหรับทุก $u, v \in V$

โครงงานวิจัยเรื่องนี้รู้ภาพเฉดเทาเป็นฟังก์ชันที่อยู่ในปริภูมิแบบยูคลิด (Euclidean space) นั่นคือค่าประจำทั้งหมดที่พูดถึงในโครงงานวิจัยเรื่องนี้เป็นค่าประจำแบบยูคลิด ซึ่งมีนิยามดังนี้

บทนิยาม 2. (ค่าประจำแบบยูคลิด) ปริภูมิยูคลิด n มิติ สามารถเขียนเวกเตอร์ในปริภูมิยูคลิดได้ว่า $\mathbf{x} = (x_1, x_2, \dots, x_n)$

$$\|\mathbf{x}\| = \sqrt{x_1^2 + x_2^2 + \dots + x_n^2}$$

2.2 แคลคูลัสของการแปรผันเบื้องต้น

แคลคูลัสของการแปรผัน (Calculus of variations) คือสาขาวิชาในวิชา คณิตศาสตร์วิเคราะห์ เพื่อใช้สำหรับแก้ปัญหาค่าเหมาะสม โดยจะสนใจที่จะหาฟังก์ชันที่เหมาะสมแทนที่จะหาค่าของตัวแปรที่เหมาะสม แคลคูลัสของการแปรผันนั้นมักจะเกี่ยวข้องกับปัญหาที่ต้องการปริมาณน้อยสุดหรือมากที่สุดซึ่งปรากฏอยู่ในรูปของอนุพันธ์หรือปริพันธ์ที่ไม่ทราบค่าฟังก์ชัน

ซึ่งฟังก์ชันหาค่าต่ำสุด มักจะมีรูปทั่วไปดังสมการ 2.2.1

$$\min_u \int \mathcal{J}(u) \quad (2.2.1)$$

โดยที่ $\mathcal{J} : \mathcal{U} \rightarrow \mathbb{R}$ เป็นฟังก์ชันที่ส่งจากฟังก์ชันไปยังจำนวนจริง เรียกว่า ฟังก์ชันนัล (functional) พร้อมทั้งกำหนด \mathcal{U} เป็นปริภูมิของคำตอบซึ่งประกอบด้วยฟังก์ชันค่าต่ำสุดของ \mathcal{J} และ \mathcal{V} เป็นปริภูมิทดสอบซึ่งปริภูมินี้สามารถเขียนเป็นผลต่างระหว่าง 2 ฟังก์ชันได้ นั่นคือ

$$\mathcal{V} = \{v | v = u - \hat{u} \text{ และ } u, \hat{u} \in \mathcal{U}\} \quad (2.2.2)$$

บทนิยาม 3. (ย่านใกล้เคียง) ให้ \mathcal{U} เป็นปริภูมิคำตอบ ฟังก์ชัน $\hat{u} \in \mathcal{U}$ และ $\epsilon > 0$ แล้ว B_ϵ จะเป็นย่านใกล้เคียงของ \hat{u} เมื่อ

$$B_\epsilon = \{u \in \mathcal{U} | \|u - \hat{u}\| < \epsilon\}$$

จาก 2.2.1 โลคอลมินิไมเซอร์ (local minimizer) จะกำหนดโดย

บทนิยาม 4. (โลคอลมินิไมเซอร์) ให้ \mathcal{U} เป็นปริภูมิคำตอบ และฟังก์ชันนัล $\mathcal{J} : \mathcal{U} \rightarrow \mathbb{R}$ จะเรียก $\hat{u} \in \mathcal{U}$ ว่าโลคอลมินิไมเซอร์ของ \mathcal{J} ถ้าทุก $\epsilon > 0$ มี $\delta > 0$ โดยที่ $\mathcal{J}(\hat{u}) \leq \mathcal{J}(u)$ สำหรับทุก $u \in B_\epsilon(\hat{u})$

ในการนิยามเงื่อนไขที่จำเป็นสำหรับโลคอลมินิไมเซอร์ของ \mathcal{J} จำเป็นต้องมีการกำหนดการหาอนุพันธ์แบบมีทิศทาง

บทนิยาม 5. (Gâteaux-differentiable) \mathcal{U} เป็นปริภูมิคำตอบ \mathcal{V} เป็นปริภูมิทดสอบ และฟังก์ชันนัล $\mathcal{J} : \mathcal{U} \rightarrow \mathbb{R}$ แล้ว \mathcal{J} เป็น Gâteaux-differentiable เมื่อทุก $u \in \mathcal{U}$ อยู่ในทิศทางของ $v \in \mathcal{V}$ ถ้า

1. มีจำนวน $\hat{\epsilon} > 0$ ซึ่งทำให้ $u_\epsilon = u + \epsilon v \in \mathcal{U}$ สำหรับทุก $|e| \leq \hat{\epsilon}$

2. ฟังก์ชัน $J(\epsilon) = \mathcal{J}(u_\epsilon)$

โดยอนุพันธ์อันดับแรกของ Gâteaux หรือการแปรผันอันดับแรก (first variation) ของ \mathcal{J} สำหรับ u ที่อยู่ในทิศทางของ v กำหนดโดย

$$\delta\mathcal{J}(u; v) = J'(0) = \left. \frac{d\mathcal{J}(u + \epsilon v)}{d\epsilon} \right|_{\epsilon=0} = \lim_{\epsilon \rightarrow 0} \frac{\mathcal{J}(u + \epsilon v) - \mathcal{J}(u)}{\epsilon}$$

และนิยามจุดคงตัว (stationary point) โดย

บทนิยาม 6. (จุดคงตัว) \mathcal{U} เป็นปริภูมิคำตอบ \mathcal{V} เป็นปริภูมิทดสอบ และฟังก์ชันนัล $\mathcal{J} : \mathcal{U} \rightarrow \mathbb{R}$ สมมติให้บาง $\hat{u} \in \mathcal{U}$ แล้ว \mathcal{J} เป็น Gâteaux-differentiable สำหรับทุกฟังก์ชันทดสอบ $v \in \mathcal{V}$ แล้ว \hat{u} จะเรียกว่าจุดคงของ \mathcal{J} ก็ต่อเมื่อ $\delta\mathcal{J}(\hat{u}; v) = 0$ สำหรับทุก $v \in \mathcal{V}$

เงื่อนไขที่จำเป็นสำหรับมินิไมเซอร์นั้นสามารถสร้างได้จากการใช้จุดคงตัว

ทฤษฎีบท 2.1. (เงื่อนไขที่จำเป็นสำหรับโลคอลมินิไมเซอร์) ให้ \mathcal{U} เป็นปริภูมิคำตอบ ซึ่ง $\hat{u} \in \mathcal{U}$, ฟังก์ชันนัล $\mathcal{J} : \mathcal{U} \rightarrow \mathbb{R}$, \mathcal{V} เป็นปริภูมิทดสอบโดยที่ v เป็นฟังก์ชันทดสอบซึ่ง $v \in \mathcal{V}$ และ \mathcal{J} เป็น Gâteaux-differentiable สำหรับทุก \hat{u}

ถ้า \hat{u} เป็นโลคอลมินิไมเซอร์ของ \mathcal{J} แล้ว \hat{u} เป็นจุดคงตัวของ \mathcal{J}
สำหรับบทพิสูจน์จะพบได้ใน [9]

ด้วยทฤษฎีบทนี้เราจะศึกษาเงื่อนไขของจุดคงตัวเพิ่มเติมโดยเราเลือกฟังก์ชันนัลทั่วไป \mathcal{J} ซึ่งนิยามโดย

$$\mathcal{J}(u) = \int_{\Omega} F[x, u(x), \nabla u(x)] dx \quad (2.2.3)$$

โดยที่ $\Omega \subset \mathbb{R}^d$, $d > 1$ เป็นเซตเปิดมีขอบเขตและ F เป็นฟังก์ชันนัลที่ขึ้นอยู่กับ $x = (x_1, x_2, \dots, x_d)^\top$ สมมติให้ \mathcal{J} เป็น Gâteaux-differentiable ในทุกทิศทางของปริภูมิทดสอบ ดังนั้นจึงสมมติได้ว่า F เป็นอนุพันธ์ย่อยต่อเนื่อง

ก่อนที่จะแนะนำเงื่อนไขสำหรับจุดคงตัวของ \mathcal{J} จะแนะนำ

$$\nabla_u F = \partial F / \partial u = F_u \quad (2.2.4)$$

สำหรับเกรเดียนซ์ของ F ซึ่งขึ้นอยู่กับ u จะกำหนดโดย

$$\nabla F = (\partial F / \partial x_1, \dots, \partial F / \partial x_d)^\top \quad (2.2.5)$$

ในทำนองเดียวกันเกรเดียนต์ของ F ซึ่งขึ้นอยู่กับ ∇u กำหนดโดย

$$\nabla_{\nabla u} F = (\partial F / \partial u_{x_1}, \dots, \partial F / \partial u_{x_d})^\top \in \mathbb{R}^d \quad (2.2.6)$$

โดยในขั้นนี้เราจะเลือกคำตอบที่เจาะจงโดยการเพิ่มเงื่อนไขค่าขอบเข้าไป ตัวอย่างเช่น

$$\tilde{\mathcal{U}} = \{u \in \mathcal{U} | u = c \text{ บน } \partial\Omega\} \quad (2.2.7)$$

และเช่นเดียวกันปริภูมิทดสอบจะถูกกำหนดโดย

$$\tilde{\mathcal{V}} = \{v \in \mathcal{V} | v = 0 \text{ บน } \partial\Omega\} \quad (2.2.8)$$

อีกทั้งขั้นตอนที่กล่าวมาไม่เพียงครอบคลุมปริภูมิทั่วไป \mathcal{U} และ \mathcal{V} แต่ยังคงครอบคลุมไปถึงกรณีที่เป็นเวกเตอร์เมื่อ

$$\mathbf{u} = (u_1, u_2, \dots, u_d)^\top : \mathbb{R}^d \rightarrow \mathbb{R}^d$$

ทฤษฎีบทประกอบ 2.2.1. (จุดคงตัวของ \mathcal{J}) ฟังก์ชัน $u \in \mathcal{U}$ เป็นจุดคงตัวของฟังก์ชันนัลทั่วไป \mathcal{J} 2.2.3 ถ้า

$$\int_{\Omega} \langle \nabla_u F - \nabla \cdot \nabla_{\nabla u} F, v \rangle_{\mathbb{R}^d} dx = 0 \quad (2.2.9)$$

บทพิสูจน์ของทฤษฎีบทประกอบนี้สามารถดูได้จาก [10]

เห็นได้ชัดว่า 2.2.9 เป็นจริงสำหรับฟังก์ชันทดสอบคงตัวที่ค่าไม่เจาะจง เพราะถ้า $\nabla_u F - \nabla \cdot \nabla_{\nabla u} F$ การยืนยันทฤษฎีบทนี้ เป็นทฤษฎีบทที่รู้กันดีอยู่แล้ว ดังนั้น $u \in \tilde{\mathcal{U}}$ เป็นจุดคงตัวของฟังก์ชันนัล \mathcal{J} ซึ่งเป็น Gâteaux-differentiable ถ้า

$$\nabla_u F - \nabla \cdot \nabla_{\nabla u} F = 0 \text{ บน } \Omega \quad (2.2.10)$$

โดยใช้ทฤษฎีบท 2.1 กับ 2.2.10 จะได้เงื่อนไขที่จำเป็นสำหรับโลคอลมินิไมเซอร์ของ 2.2.1 จาก $d > 1$ และ 2.2.10 จะนำไปสู่สมการเชิงอนุพันธ์ย่อย ซึ่งรู้จักกันในชื่อของสมการออยเลอร์-ลากรางจ์ ที่มีเงื่อนไขค่าขอบ โดยจะเรียก 2.2.1 ที่มีเงื่อนไขค่าขอบว่า รูปแบบการแปรผัน (variational formulation) และถ้าเงื่อนไขค่าขอบนั้นถูกกำหนดไว้ชัดเจนตามทฤษฎีบทประกอบที่ 2.2.1 จะเรียกเงื่อนไขนี้ว่า เงื่อนไขจำเป็น (essential condition) และในทางกลับกันหากค่าขอบไม่ถูกกำหนดไว้ชัดเจนจะเรียกว่า เงื่อนไขธรรมชาติ (natural condition)

โดยสรุปแล้วทุกคำตอบ $u^* \in \mathcal{U}$ ในปัญหาค่าเหมาะสมทั่วไปดังเช่น 2.2.1 ที่มีฟังก์ชันนัล \mathcal{J} ซึ่งเป็น Gâteaux-differentiable ที่ถูกกำหนดโดย 2.2.3 จะเป็นคำตอบของปัญหาค่าขอบซึ่งเป็นส่วนประกอบของสมการออยเลอร์-ลากรางจ์

$$\nabla_u F - \nabla \cdot \nabla_{\nabla u} F = 0 \text{ บน } \Omega$$

ส่วนเงื่อนไขค่าขอบนั้นสามารถเป็นแบบเงื่อนไขจำเป็น หรือเงื่อนไขธรรมชาติก็ได้

$$\langle \nabla_{\nabla u} F, n \rangle_{\mathbb{R}^d} = 0 \text{ บน } \partial\Omega$$

เมื่อ $n = (n_1, \dots, n_d)^\top$ หมายถึงเวกเตอร์หนึ่งหน่วยปกติภายนอก (outer normal vector unit) ของ $\partial\Omega$

ตัวอย่าง 2.2.1. ให้ $d = 2, \Omega = [0, 1]^2, F = |\nabla u|$ เมื่อ $u = u(x)$ และรูปแบบแปรผันเป็น

$$u_{\min} \int_{\Omega} |\nabla u| dx$$

กำหนดให้

$$\mathcal{R}(u) = \int_{\Omega} |\nabla u| d\Omega = \int_{\Omega} \sqrt{u_x^2 + u_y^2} d\Omega$$

สำหรับการแปรผันอันดับหนึ่งของ \mathcal{R} กำหนดให้ $\Phi(s) = s$ จะได้

$$\frac{\delta}{\delta u} \mathcal{R}(u; v) = \left. \frac{d}{d\varepsilon} \mathcal{R}(u + \varepsilon v) \right|_{\varepsilon=0} = \left. \frac{d}{d\varepsilon} \int_{\Omega} \Phi(|\nabla(u + \varepsilon v)|) d\Omega \right|_{\varepsilon=0}$$

ดังนั้น

$$\begin{aligned} \frac{\delta}{\delta u} \mathcal{R}(u; v) &= \int_{\Omega} \left. \frac{d}{d\varepsilon} \Phi(\sqrt{(u_x + \varepsilon v_x)^2 + (u_y + \varepsilon v_y)^2}) \right|_{\varepsilon=0} d\Omega \\ &= \int_{\Omega} \left[\Phi'(\sqrt{(u_x + \varepsilon v_x)^2 + (u_y + \varepsilon v_y)^2}) \frac{(u_x + \varepsilon v_x)v_x}{\sqrt{(u_x + \varepsilon v_x)^2 + (u_y + \varepsilon v_y)^2}} \right. \\ &\quad \left. + \Phi'(\sqrt{(u_x + \varepsilon v_x)^2 + (u_y + \varepsilon v_y)^2}) \frac{(u_y + \varepsilon v_y)v_y}{\sqrt{(u_x + \varepsilon v_x)^2 + (u_y + \varepsilon v_y)^2}} \right] \Big|_{\varepsilon=0} d\Omega \\ &= \int_{\Omega} \Phi'(|\nabla u|) \left(\frac{u_x v_x}{|\nabla u|} + \frac{u_y v_y}{|\nabla u|} \right) d\Omega \\ &= \int_{\Omega} \frac{\Phi'(|\nabla u|)}{|\nabla u|} (\nabla u \cdot \nabla v) d\Omega \\ &= \int_{\Omega} \Phi'(|\nabla u|) \frac{\nabla u}{|\nabla u|} \cdot \nabla v d\Omega \end{aligned}$$

โดยเอกลักษณ์อันดับหนึ่งของกรีน จะได้ว่า

$$\begin{aligned} \frac{\delta}{\delta u} \mathcal{R}(u; v) &= - \int_{\Omega} v \nabla \cdot \left(\Phi'(|\nabla u|) \frac{\nabla u}{|\nabla u|} \right) d\Omega + \int_{\partial\Omega} v \left(\Phi'(|\nabla u|) \frac{\nabla u}{|\nabla u|} \cdot \mathbf{n} \right) dS \\ &= - \int_{\Omega} v \nabla \cdot \left(\Phi'(|\nabla u|) \frac{\nabla u}{|\nabla u|} \right) d\Omega + \int_{\partial\Omega} v \left(\Phi'(|\nabla u|) \frac{\partial u}{\partial \mathbf{n}} \right) dS \end{aligned}$$

เพราะฉะนั้น

$$\frac{\delta}{\delta u} \mathcal{R}(u; v) = - \int_{\Omega} v \nabla \cdot \left(\Phi'(|\nabla u|) \frac{\nabla u}{|\nabla u|} \right) d\Omega + \int_{\partial\Omega} v \left(\Phi'(|\nabla u|) \frac{\partial u}{\partial \mathbf{n}} \right) dS$$

เมื่อ \mathbf{n} แทนเวกเตอร์หนึ่งหน่วยที่ตั้งฉากกับขอบของภาพในทิศทางชี้ออก

จะได้สมการออยเลอร์ที่สมนัยกับปัญหานี้คือ

$$-\Delta u = 0 \text{ บน } \Omega$$

$$\frac{\partial u}{\partial \mathbf{n}} = 0 \text{ บน } \partial\Omega$$

2.3 ฟังก์ชันของการแปรผันที่มีขอบเขต

ให้ Ω เป็นเซตเปิดมีขอบเขตของ \mathbb{R}^d และให้ $u \in L^1(\Omega)$ กำหนดให้การแปรผันรวม u เป็น

$$\int_{\Omega} |Du| = \sup \left\{ \int_{\Omega} u \nabla \cdot \varphi \right\} \quad (2.3.1)$$

เมื่อ เป็น (Lebesgue measure) แล $C_0^1(\Omega, \mathbb{R}^d)$ คือปริภูมิของฟังก์ชันต่อเนื่องที่หาอนุพันธ์ได้และกระชับใน Ω

ตามที่ได้ถูกกล่าวถึงใน [11] สำหรับกรณีเฉพาะซึ่งเป็นที่น่าสนใจ $u \in C^1(\Omega, \mathbb{R}^d)$ โดยการใช้ปริพันธ์แบบแยกส่วน

$$\int_{\Omega} u \nabla \cdot \varphi dx = - \int_{\Omega} \sum_{i=1}^d \frac{\partial u}{\partial x_i} \varphi_i dx \quad (2.3.2)$$

สำหรับทุก $\varphi \in C_0^1(\Omega, \mathbb{R}^d)^d$ และ

$$\int_{\Omega} |Du| = \int_{\Omega} |\nabla u| dx \quad (2.3.3)$$

ฟังก์ชัน $u \in L^1(\Omega)$ เรียกว่ามีขอบเขตการแปรผันใน Ω ถ้า $\int_{\Omega} |Du| < \infty$ โดยเรากำหนดให้ $BV(\Omega)$

เป็นปริภูมิของฟังก์ชันทั้งหมดใน $L^1(\Omega)$ การแปรผันที่มีขอบเขต

ตัวอย่าง 2.3.1. ฟังก์ชัน f_1, f_2 และ f_3 ต่อไปนี้กำหนดโดย

$$f_1(x) = \sin x, \quad (2.3.4)$$

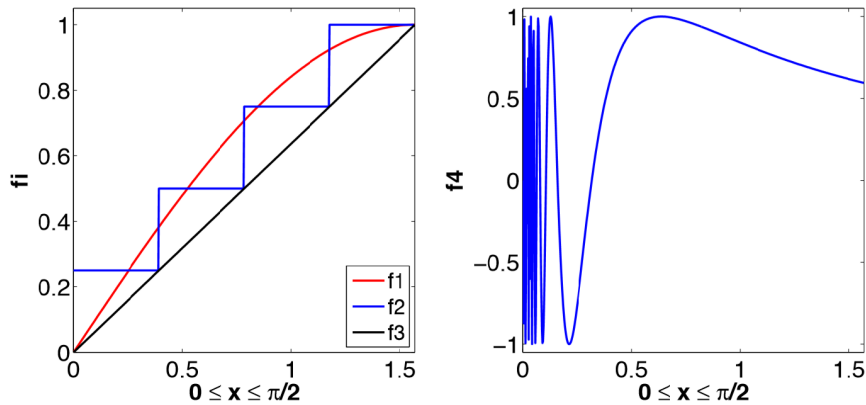
$$f_2(x) = \begin{cases} 1/4, & x \in [0, \pi/8] \\ 1/2, & x \in [\pi/8, \pi/4] \\ 3/4, & x \in [\pi/4, 3\pi/8] \\ 1, & x \in [3\pi/8, \pi/2] \end{cases} \quad (2.3.5)$$

$$f_3(x) = \frac{2x}{\pi}, \quad (2.3.6)$$

จาก $BV(\Omega)$ ซึ่ง $\Omega = [0, \pi/2]$ และมีการแปรผันรวมมีค่าเป็น 1 ให้ฟังก์ชัน f_4 กำหนดโดย

$$f_4(x) = \begin{cases} 0, & x = 0 \\ \sin 1/x, & x \in (0, a) \text{ และ } a > 0 \end{cases} \quad (2.3.7)$$

มีการแปรผันไม่จำกัดและไม่อยู่ใน $BV(\Omega)$ ซึ่ง $\Omega = [0, a]$ สำหรับทุก $a > 0$



รูปที่ 2.3.1: ฟังก์ชันแปรผันมีขอบเขตทั้งสามฟังก์ชันที่มีการแปรผันรวมเหมือนกันเท่ากับ 1 และฟังก์ชันที่มีการแปรผันไม่จำกัด

ซึ่งสำหรับในหัวข้อนี้เราสามารถสรุปได้เป็นสูตรของคลอเลีย (Coarea formula)

ทฤษฎีบท 2.2. (Coarea formula) ให้ $\Omega \subset \mathbb{R}^d$ เป็นเซตเปิดและให้ $u \in BV(\Omega)$ และ $L_\lambda = \{x \in \Omega | u(x) < \lambda\}$ เป็นระดับโดเมน (level domain) แล้ว

$$\int_{\Omega} |Du| = \int_{-\infty}^{\infty} Per(L_\lambda, \Omega) d\lambda$$

เมื่อ $Per(L_\lambda, \Omega) = \int_\Omega |D_{x^L_\lambda}|$ คือ perimeter ของ L_λ ใน Ω และ χ^{L_λ} คือลักษณะเฉพาะ (characteristic) ของฟังก์ชัน L_λ

โดยบนพิสูจน์สามารถดูได้ใน [11]

2.4 วิธีการเร็กคิวลาร์ไลซ์เซชัน

ในโครงการวิจัยเรื่องนี้ จะพบปัญหา ill-posed ซึ่งทำให้การแก้ปัญหานั้นเกิดความยากลำบากขึ้น จึงจำเป็นต้องหาวิธีแก้ปัญห ill-posed ให้เป็นปัญหา Well-posed ก่อนนำไปแก้ปัญหาลัดไป

2.4.1 ปัญหา Well-posed และปัญหา Ill-posed

บทนิยาม 7. (ปัญหา Well-posed) จะเรียกปัญหาดังกล่าวนี้เป็นปัญหา Well-posed เมื่อปัญหามีคุณสมบัติ ดังนี้

1. มีคำตอบ
2. มีเพียงคำตอบเดียว
3. คำตอบขึ้นอยู่กับความต่อเนื่อง

หากปัญหาไม่ตรงคุณสมบัติใดจากทั้ง 3 ข้อ จะเรียกปัญหาดังกล่าวว่าเป็นปัญหา ill-posed

2.4.2 ปัญหาย้อนกลับ

ปัญหาย้อนกลับ (Inverse problem) คือปัญหาสำหรับการกู้คืนข้อมูลพารามิเตอร์จากตัวแบบทางคณิตศาสตร์โดยใช้ข้อมูลบางพารามิเตอร์ที่ทราบค่าอยู่ ซึ่งโดยทั่วไปแล้วปัญหาย้อนกลับนี้มักจะเป็นปัญหา ill-posed

ตัวอย่าง 2.4.1. สำหรับตัวอย่างปัญหาย้อนกลับ เช่น จงหาค่า x และ y ที่ทำให้ $x + y = 5$ จะเห็นว่ามีชุดของคำตอบ $x + y = 5$ อยู่มากมาย ซึ่งทำให้เป็นปัญหา ill-posed เนื่องจากคำตอบของปัญหาไม่ได้มีเพียงชุดเดียว

ในส่วนของการต่อเติมภาพที่เสียหายนั้นเป็นปัญหาย้อนกลับและเป็นปัญหา ill-posed ด้วยเนื่องจากคำตอบในบริเวณที่จะต่อเติมไม่ได้มีเพียงคำตอบเดียว ตัวอย่างเช่น ภาพที่ 2.4.1 ภาพช้างที่เสียหาย¹ ในบริเวณภาพสีแดงซึ่งภาพเกิดความเสียหายขึ้น อาจจะมีคำตอบเป็นขาของช้าง หรือมีคำตอบเป็นสิงโตดังในภาพก็ได้



รูปที่ 2.4.1: ตัวอย่างการต่อเติมภาพที่ไม่มีคำตอบเฉพาะเจาะจง

ตัวอย่าง 2.4.2. ตัวอย่างปัญหาย้อนกลับ เมื่อ z เป็นภาพซึ่ง นิยามอยู่ใน $\Omega \in \mathbb{R}^2$ η คือสัญญาณรบกวนแบบเกาส์เซียนที่มีส่วนเบี่ยงเบนมาตรฐานเป็น σ^2 และ u คือภาพที่มีสัญญาณรบกวน โดยที่ $u = z + \eta$ เราสามารถนำสัญญาณรบกวนออกได้โดยหา u ที่เหมาะสมจาก

$$u_{\min} \left\{ \left| \int_{\Omega} |u - z|^2 d\Omega - \sigma^2 \right| \right\} \quad (2.4.1)$$

ซึ่ง u ที่เหมาะสมมีหลายคำตอบจึงได้ว่า u นี้เป็นปัญหา ill-posed

2.4.3 รีเกร็กิวลาไลซ์เซชัน

วิธีรีเกร็กิวลาไลซ์เซชัน (Regularization) เป็นวิธีการทำให้ปัญหาย้อนกลับกลายเป็นปัญหา Well-posed ได้ โดยคุณ Tikhonov และคุณ Arsenin [8] ได้นำเสนอวิธีการสำหรับการจัดการปัญหาค่าเหมาะสมโดยใช้การแนะนำวิธีการแก้ปัญหานี้โดยการทำให้ปัญหามีคำตอบอยู่ในชุดของคำตอบใด คำตอบหนึ่ง หรือทำให้มีคุณลักษณะที่เฉพาะเจาะจง

จากตัวอย่าง 2.4.1 สามารถทำให้คำตอบเฉพาะจงขึ้นได้ โดยการเพิ่มเงื่อนไขเข้าไปว่า $x + y = 5$ เมื่อ $\sqrt{x^2 + y^2}$ มีค่าน้อยที่สุด

¹ภาพจาก <https://9gag.com/gag/aer4VwB> สืบค้นเมื่อ 10 มีนาคม 2562

จากตัวอย่าง 2.4.2 เราสามารถทำให้คำตอบจะเพิ่มขึ้นได้โดยการเพิ่มพจน์เข้าไปด้วย

$$\min_u \left\{ \left| \int_{\Omega} |u - z|^2 d\Omega - \sigma^2 \right| + \alpha \int_{\Omega} |\nabla u|^2 \right\} \quad (2.4.2)$$

โดยจะเรียกพจน์แรกว่าพจน์ปรับค่าข้อมูล (Data fitting term) และพจน์ที่ 2 ว่าพจน์เร็กกิวลาไรเซชัน (Regularization term) โดยเมื่อคำตอบ u มีค่าเกรเดียนต์ที่น้อยแล้วจะได้ผลลัพธ์ออกมาเป็นภาพที่ไม่มีสัญญาณรบกวน

2.5 วิธีการไฟไนต์ดิฟเฟอเรนซ์เบื้องต้น

วิธีการไฟไนต์ดิฟเฟอเรนซ์ (finite difference method) ถูกคิดค้นโดย เป็นวิธีการเชิงตัวเลขที่พัฒนาขึ้นเพื่อแก้ไขปัญหาค่าขอบ ซึ่งทั่วไปแล้วขั้นตอนของวิธีการไฟไนต์ดิฟเฟอเรนซ์สำหรับการแก้ปัญหาค่าขอบประกอบด้วยสามขั้นตอนสำคัญดังนี้

1. ดิสครีตไทม์ (discretize) โดเมนของผลเฉลย (solution domain) ออกเป็นช่องตาราง (mesh) ของจุดกริด (grid point) ที่ต้องการหาผลเฉลยเชิงตัวเลข
2. ประมาณอนุพันธ์ที่ปรากฏในปัญหาค่าขอบด้วยการประมาณแบบไฟไนต์ดิฟเฟอเรนซ์ (finite difference approximation) ในขั้นตอนนี้ การประมาณดังกล่าวจะนำไปสู่ระบบสมการเชิงเส้น หรือระบบสมการไม่เป็นเชิงเส้นขนาดใหญ่ที่สมนัยกับปัญหาค่าขอบตั้งต้น
3. แก้ระบบสมการเชิงเส้นหรือระบบสมการไม่เป็นเชิงเส้นขนาดใหญ่ที่เกิดขึ้นในขั้นตอนที่ 2 เพื่อกำหนดผลเฉลยเชิงตัวเลข

กำหนดให้ $u(x)$ แทนฟังก์ชันค่าจริงและเป็นฟังก์ชันราบเรียบ (smooth function) นั่นคือ u สามารถหาอนุพันธ์ได้หลายครั้ง โดยแต่ละครั้ง อนุพันธ์ที่หาได้เป็นฟังก์ชันที่ถูกระบุอย่างดี (well-defined) และมรขอบเขตเหนือช่วงที่มีจุดที่สนใจ \bar{x}

ในการประมาณ $u'(\bar{x})$ โดยใช้ค่าของ u ที่เกิดจากจุดที่อยู่ในบริเวณใกล้เคียงกับ \bar{x} สามารถใช้สูตรการประมาณแบบไฟไนต์ดิฟเฟอเรนซ์ที่ถูกกำหนดได้ดังต่อไปนี้

1. สูตรฟอร์เวิร์ดดิฟเฟอเรนซ์ (forward-difference formular)

$$D_+u(\bar{x}) = \frac{u(\bar{x} + h) - u(\bar{x})}{h}$$

2. สูตรแบ็คเวิร์ดดิฟเฟอเรนซ์ (backward-difference formular)

$$D_-u(\bar{x}) = \frac{u(\bar{x}) - u(\bar{x} - h)}{h}$$

3. สูตรเซ็นทรัลดิฟเฟอเรนซ์ (forward-difference formular)

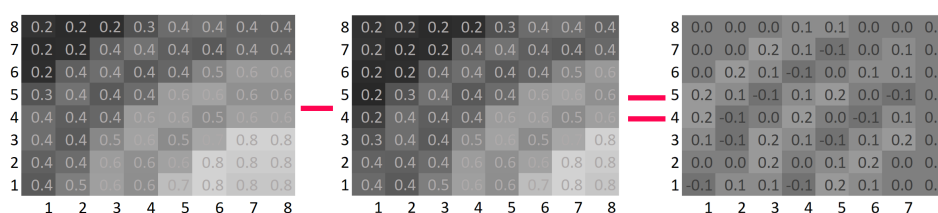
$$D_0u(\bar{x}) = \frac{u(\bar{x} + h) - u(\bar{x} - h)}{2h}$$

โดยที่ h เป็นจำนวนจริงที่มีค่าน้อยๆ ซึ่ง $h > 0$

สำหรับโครงการวิจัยนี้ จะใช้วิธีการหาอนุพันธ์โดยประมาณไฟไนต์ดิฟเฟอเรนซ์แบบฟอร์เวิร์ดดิฟเฟอเรนซ์ จึงได้ว่าการหาอนุพันธ์ของค่าความเข้มที่พิกัดทางกายภาพเป็น (i, j) สามารถหาได้ดังนี้

$$\frac{d}{dx}u_{i,j} = \frac{u_{i,j+1} - u_{i,j}}{h}$$

เมื่อระบบกริดที่ใช้บนภาพมีความห่างเพียงหนึ่งหน่วย จึงได้ว่า $h = 1$ ทั้งนี้ระยะห่าง h อาจเปลี่ยนไปตามชั้นของพีระมิดรูปภาพ



รูปที่ 2.5.1: ตัวอย่างการหาอนุพันธ์บนภาพเฉดเทา

จากภาพ ?? เมื่อต้องการหาอนุพันธ์เทียบแกน x จะทำตามภาพที่ 2.5.1 โดยทำการสร้างภาพซึ่งทำการตัดขอบทางซ้ายออกหนึ่งคอลัมน์และเพิ่มขอบทางขวาหนึ่งคอลัมน์โดยใช้เงื่อนไขค่าขอบแบบนิวแมน จากนั้นภาพที่สร้างขึ้นไปลบกับภาพเดิมจะได้อนุพันธ์ของภาพนั้นดังที่ปรากฏทางขวา ทั้งนี้หาก $h \neq 1$ สามารถทำการหารภาพผลลัพธ์ด้วยค่า h ได้เพื่อให้ได้ค่าที่ต้องการ

สำหรับการหาเกรเดียนต์ (Gradient) จะใช้การหาอนุพันธ์โดยวิธีพอร์เวิร์ดดิฟเฟอเรนซ์ดังที่กล่าวไปในข้างต้น ในแนวแกน x และแนวแกน y คำตอบที่ได้จะเป็นเวกเตอร์ของอนุพันธ์แนวแกน x และอนุพันธ์แนวแกน y ได้เวกเตอร์ดังนี้

$$\nabla v_{u_i} = \left(\frac{\partial}{\partial x} u_{i,j}, \frac{\partial}{\partial y} u_{i,j} \right)^T$$

สำหรับไดเวอร์เจนซ์ (Divergence) จะเป็นการหาผลรวมของอนุพันธ์ในแต่ละแกนของเวกเตอร์ด้วยวิธีพอร์เวิร์ดดิฟเฟอเรนซ์ นั่นคือ

$$\nabla \cdot (v_{i,j}) = \frac{\partial}{\partial x} v_{i,j_x} + \frac{\partial}{\partial y} v_{i,j_y}$$

สำหรับลาปลาเซียน (Laplacian) นั่นคือการหาไดเวอร์เจนซ์บนเวกเตอร์ที่หาเกรเดียนต์แล้ว แต่ทั้งนี้สามารถหาลาปลาเซียนได้จาก

$$\Delta u_{i,j} = u_{i-1,j} + u_{i+1,j} + u_{i,j-1} + u_{i,j+1} - 4u_{i,j}$$

2.6 วิธีการทำซ้ำสำหรับระบบสมการเชิงเส้น

ในหัวข้อนี้จะแนะนำถึงวิธีการทำซ้ำเพื่อแก้ปัญหาระบบสมการเชิงเส้น สำหรับโครงงานวิจัยเรื่องนี้มีการแก้ปัญหาระบบสมการเชิงเส้น เพื่อทำการแก้สมการเชิงอนุพันธ์ที่ถูกเปลี่ยนให้เป็นระบบสมการเชิงเส้นแล้ว โดยระบบสมการเชิงเส้นที่จะทำการแก้กันอยู่ในรูปของ

$$Ax = b \quad (2.6.1)$$

เมื่อ $x \in \mathbb{R}^N$ และ A เป็นเมทริกซ์ขนาด $N \times N$ โดยการทำซ้ำนี้จะเริ่มจากค่าประมาณเริ่มต้น (initial approximation) $x^{(0)}$ และทำการสร้างลำดับ $\{x^{(k)}\}_{k=1}^{\infty}$ จากความสัมพันธ์

$$x^{(k)} = Tx^{(k-1)} + c \quad (2.6.2)$$

เมทริกซ์ความสัมพันธ์ T และเวกเตอร์ c มาจากการแบ่ง $A = M - N$ ของเมทริกซ์ A เมื่อ M เป็นเมทริกซ์ไม่เอกฐาน โดยแยกระบบเดิม 2.6.1 ออกเป็น

$$Ax = (M - N)x = b \quad (2.6.3)$$

นั่นคือ

$$x = (M^{-1}N)x + M^{-1}b = Tx + c \quad (2.6.4)$$

เมื่อ $T = M^{-1}N$ และ $c = M^{-1}b$ โครงงานวิจัยนี้ทางผู้วิจัยได้เลือกใช้วิธีเกาส์-ไซเดลซึ่งเป็นวิธีการที่พัฒนาต่อมาจากวิธีการจาโคบี จึงขอแนะนำทั้งสองวิธีการ ดังนี้

2.6.1 วิธีการจาโคบี

วิธีการจาโคบีจะแก้สมการที่ i ของ $Ax = b$ โดยหา x_i ซึ่งกำหนดโดย

$$x_i = \sum_{\substack{j=1 \\ j \neq i}}^N \left(\frac{-a_{ij}x_j}{a_{ii}} \right) + \frac{b_i}{a_{ii}} \quad \text{เมื่อ } i = 1, \dots, N \quad (2.6.5)$$

ให้ $x^{(k-1)}$ สำหรับทุก $k \geq 1$ ซึ่งก่อกำเนิดโดย

$$x_i^{(k)} = \sum_{j=1}^N \left(\frac{-a_{ij}x_j^{(k-1)}}{a_{ii}} \right) + \frac{b_i}{a_{ii}} \quad \text{เมื่อ } i = 1, \dots, N \quad (2.6.6)$$

ซึ่งจำเป็นที่ $a_{ii} \neq 0$ สำหรับ $i = 1, \dots, N$ แต่ถ้ามีอย่างน้อยหนึ่ง $a_{ii} = 0$ และระบบไม่เอกฐาน ก็สามารถสับเปลี่ยนลำดับเพื่อให้ไม่มี a_{ii} ที่เป็น 0 ได้ และการเขียน $Ax = b$ เป็น $x = Tx + c$ จะทำการเปลี่ยน A เป็น $A = D - L - U$ เมื่อ D เป็นเมทริกซ์ทแยงมุมของ A , $-L$ เป็นสามเหลี่ยมส่วนล่างของ A และ $-U$ เป็นสามเหลี่ยมส่วนบนของ A จึงได้ว่า

$$Ax = (D - L - U)x = b \quad (2.6.7)$$

หรือ

$$x = D^{-1}(L + U)x + D^{-1}b \quad (2.6.8)$$

เมื่อทำการแบ่งเมทริกซ์เป็น $A = M - N$ โดยที่ $M = D$ และ $N = L + U$ แล้วจะได้ว่าเมทริกซ์สำหรับวิธีการจาโคบีคือ

$$x^{(k)} = T_J x^{(k-1)} + c_J \quad (2.6.9)$$

เมื่อ $T_J = D^{-1}(L + U)$ และ $c_J = D^{-1}b$

ขั้นตอนวิธีจาโคบี

ขั้นตอนวิธีของจาโคบีเพื่อหาค่าใกล้เคียงของคำตอบ $Ax = b$ จะให้ค่าใกล้เคียงของคำตอบเริ่มต้นเป็น $x^{(0)}$ ให้จำนวนรอบการทำซ้ำสูงสุดเป็น $IMAX$ และให้ค่าความคลาดเคลื่อนเป็น $\epsilon > 0$

Algorithm 1: ขั้นตอนวิธีจาโคบี

```

 $[x] \leftarrow \text{Jacobi}(A, b, x^{(0)}, IMAX, \epsilon)$ 
1. ให้  $k = 1, N = \text{size}(x^{(0)})$ , done = False
2. ถ้า done = False ทำซ้ำขั้นตอนที่ 3 และ 4
3.  $x_i^{(k)} = \sum_{j=1}^{(k-1)} \left( \frac{-a_{ij}x_j^{(k-1)}}{a_{ii}} + \frac{b_i}{a_{ii}} \right)$ 
4. if  $\|b - Ax^{(k)}\| < \epsilon$  หรือ  $\|x^{(k)} - x^{(k-1)}\| < \epsilon$  หรือ  $k \geq \epsilon$  then
    ให้ done = True และ  $x = x^{(k)}$ 
else
    ให้  $k = k + 1$ 
end

```

2.6.2 วิธีการเกาส์-ไซเดล

จากวิธีการจาโคบีมีจำนวนค่า $x_1^{(k)}, x_2^{(k)}, \dots, x_{i-1}^{(k)}$ ซึ่งสามารถเพิ่มประสิทธิภาพได้ด้วยการเปลี่ยนสมการของ $x_i^{(k)}$ เป็น

$$x_i^{(k)} = \frac{-\sum_{j=1}^{i-1} a_{ij}x_j^{(k)} - \sum_{j=i+1}^N a_{ij}x_j^{(k-1)} + b_i}{a_{ii}} \quad (2.6.10)$$

วิธีการนี้เรียกว่า วิธีการเกาส์-ไซเดล ซึ่งสามารถเขียนสมการใหม่ได้เป็น

$$a_{ii}x_i^{(k)} + \sum_{j=1}^{i-1} a_{ij}x_j^{(k)} = -\sum_{j=i+1}^N a_{ij}x_j^{(k-1)} + b_i \quad (2.6.11)$$

จะได้รูปแบบเมทริกซ์ของวิธีเกาส์-ไซเดลเป็น

$$(D - L)x^{(k)} = Ux^{(k-1)} + b \quad (2.6.12)$$

ซึ่งสมมูลกับ

$$x^{(k)} = T_{GS}x^{(k-1)} + c_{GS} \quad (2.6.13)$$

เมื่อ $T_{GS} = (D - L)^{-1}U$ และ $c_{GS} = (D - L)^{-1}b$ นั่นคือเกาส์-ไซเดล มีพื้นฐานมาจากการแยกเมทริกซ์ด้วย $M = D - L$ และ $N = U$

ขั้นตอนวิธีเกาส์-ไซเดล

ขั้นตอนวิธีเกาส์-ไซเดล เหมือนกับขั้นตอนวิธีจาโคบี แต่เปลี่ยนขั้นที่ 3 เป็นสมการที่ 2.6.10

บรรณานุกรม

- [1] T.F. Chan and J. Shen , “Mathematical models of local non-texture inpaintings”, SIAM Journal on Applied Mathematics, vol. 62, no. 3, pp. 1019–1043, 2001.
- [2] L. I. Rudin, S. Osher, E. Fatemi, “Nonlinear total variation based noise removal algorithms”, Physica D: Nonlinear Phenomena, vol 60, issues 1–4, pp. 259-268, 1992.
- [3] C.R. Vogel and M.E. Oman, “Iterative methods for total variation denoising”, SIAM Journal on Scientific Computing. vol. 17, pp. 227-238, 1996.
- [4] T. Goldstein and S. Osher, “The Split Bregman Method for L1-Regularized Problems”, SIAM Journal on Imaging Sciences. vol. 2, issue 2, pp. 323-343, 2009.
- [5] E.H. Andelson and C.H. Anderson and J.R. Bergen and P.J. Burt and J.M. Ogden. ”Pyramid methods in image processing”. 1984
- [6] David Salomon. Data Compression: The Complete Reference (4 ed.). Springer. pp. 281. 2007.
- [7] Zhou Wang, Alan Conrad Bovik, Hamid Rahim Sheikh and Eero P. Simoncelli, ”Image quality assessment: from error visibility to structural similarity,” in IEEE Transactions on Image Processing, vol. 13, no. 4, pp. 600-612, 2004.
- [8] A. N. Tikhonov and V. Y. Arsenin. Solutions of Ill-posed Problems. Wiston and Sons, Washington, D.C., 1977

- [9] B. Dacorogna. Introduction to the Calculus of Variations. Introduction to the Calculus of Variations, 2004.
- [10] N. Chumchob. A study of effective variational models and efficient numerical methods for image registration. University of Liverpool, UK 2010
- [11] E. Giusti. Minimal Surfaces and Functions of Bounded Variation. Monographs in Mathematics, Vol. 80. Birkhauser, 1984